March. 1993

希土二氯醋酸盐与邻菲罗啉(phen) 混配配合物合成和表征

董 南 朱龙观

(杭州大学化学系, 杭州 310028)

本文采用一种新的合成方法在水、乙醇和四氢呋喃混合溶剂中合成了 6 种希土二氯醋酸盐与邻菲罗啉 (phen) 混配配合物,是过元素分析、红外光谱、差热—热重和紫外光谱等分析测试手段研究了配合物的性质,并确定配合物的组成为: $Ln(CCl_2HCOO)_3(phen)_2 \cdot 2H_2O$ [Ln=Gd、Tb、Er、Yb] 和 $Ln(CCl_2HCOO)_3(phen)_2 \cdot H_2O \cdot C_2H_3OH$ [Ln=Pr、Nd].

关键词: 希土 二氯醋酸 邻菲罗啉 合成 配合物

迄今对希土二氯醋酸盐化合物研究不多 $^{(1-2)}$,至于希土二氯醋酸盐混配配合物的研究更 少。Spacu 等 $^{(3)}$ 曾在乙醇中合成了 5 个希土二氯醋酸盐与 phen 的配合物,组成为 $Ln(CCl_2HCOO)_3phen[Ln=Ce、Pr、Nd、Sm、Dy];$ 亦有文献报道 $^{(4)}$,在萃取体系中有组分 $Ln(CCl_2HCOO)_3(phen)_2$ 存在,但未获固体产物。希土取代羧酸盐及其配合物在希土分离和分离过程的配位机理方面的研究日益受人重视 $^{(2)}$,对此研究有一定意义。希土双啮杂环胺配合物以往在中等极性的非水溶剂中合成 $^{(5)}$;在水存在下,一般认为很难合成,因为 $Ln-H_2O$ 的作用力很强含氯配体很难配位 $^{(5)}$ 。但我们在含水有机溶剂中合成了希土二氯醋酸盐与二份 phen 配位的配合物。

实验部分

- 一.试剂 希土氧化物纯度大于 99.9%, 上海跃龙化工厂生产。二氯醋酸, 化学纯, 金山化工厂出品, 使用时配成浓度为 50%。其余试剂均为分析纯。
- 二.希土二氯醋酸盐合成 文献 $^{(1-2)}$ 报道采用希土碳酸盐与二氯醋酸反应制得。本工作以希土氧化物直接加人稍过量的二氯醋酸溶液, $80\sim90$ C下回流(25ml 小烧杯盖上表面皿)溶解,蒸发至干,经氯仿和乙醇混合溶剂重结晶二次, P_4O_{10} 干燥器干燥。元素分析表明组成为 $Ln(CCl_2HCOO)_3 \cdot nH_2O$.
- 三.配合物合成 称取希土醋酸盐 0.2mmol, 加入水、乙醇和四氢呋喃混合溶剂 (体积比 1:1:2) 4ml; 另称取 0.4mmol 邻菲罗啉, 加入 4ml 混合溶剂。混合二溶液于 25ml 三角烧瓶中, 放置。约 10 天析出晶体产物, 过滤, 乙醇洗涤, P₄O₁₀ 干燥器干燥。

结果与讨论

一配合物组成 希土含量以 EDTA 滴定法分析,C、H、N 含量使用 Carlo Erba 1106 型元素分析仪测定。配合物元素分析结果见表 1. 从元素分析结果推知 Pr、Nd 配合物的组成为 $Ln(CCl_2HCOO)_3(phen)_2 \cdot H_2O \cdot C_2H_3OH;$ Gd、 Tb、 Er 和 Yb 配 合 物 组 成 为 $Ln(CCl_2HCOO)_3(phen)_2 \cdot 2H_2O$. 配合物在二甲基甲酰胺、吡啶和二甲亚砜中易溶;在水、乙醇、甲醇和丙酮中微溶;在乙醚、苯、氯仿、四氯化碳和硝基甲烷中不溶。25℃,0.3× 10^{-3} mol·l⁻¹ 下在甲醇中测得配合物的摩尔电导值在 67.1~72.4 S·cm²·mol⁻¹,表明配合物是 1:1 类型的电解质 $^{(6)}$ 。

Complexes	color	C%	н%	N%	Ln%	molar conductance S • cm ² • mol ⁻¹
$Pr(L)_3(phen)_2 \cdot H_2O \cdot C_2H_5OH$	green	40.31	2.73	5.82	14.97	67.1
		(40.49)	(2.87)	(5.90)	(14.84)	
$Nd(L)_3(phen)_2 \cdot H_2O \cdot C_2H_5OH$	light violet	40.28	2.82	5.76	15.32	71.3
		(40.35)	(2.86)	(5.88)	(15.14)	
$Gd(L)_3(phen)_2 \cdot 2H_2O$	white	38.54	2.44	5.86	16.80	72.0
		(38.44)	(2.47)	(5.98)	(16.77)	
$Tb(L)_3(phen)_2 \cdot 2H_2O$	white	38.24	2.37	5.84	16.80	71.2
		(38.37)	(2.47)	(5.96)	(16.92)	
$Er(L)_3(phen)_2 \cdot 2H_2O$	light violet	37.90	2.34	5.70	17.73	70.8
		(38.03)	(2.45)	(5.91)	(17.65)	•
$Yb(L)_3(phen)_2 \cdot 2H_2O$	white	37.77	2.32	5.64	17.96	72.4
		(37.80)	(2.43)	(5.88)	(18.15)	

表 1 配合物元素分析结果和摩尔电导值

Table 1 Flomental Analysis Date and Molar Conductance of the Complexes

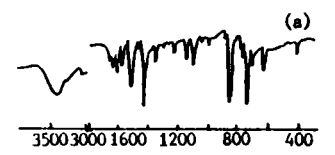
* L = CCl₂HCOO⁻; data in brackets are calcd.

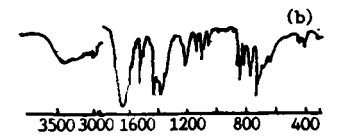
二.红外光谱分析 红外光谱使用 Perkin Elmer 683 型红外光谱仪测定,KBr 压片。配合物的 谱图基本相似。Pr、Nd 配合物红外光谱与 Gd、Tb、Er 和 Yb 配合物的红外光谱比较还显示 出乙醇的特征吸收峰。自由 phen 的 C-H 面外弯曲振动位于 739cm⁻¹ 和 851cm⁻¹,形成配合物后分别位移至~726cm⁻¹ 和~844cm⁻¹ 处;phen 的环伸缩振动峰 1561cm⁻¹,形成配合物后位移至~1525cm⁻¹,这些信息表明 phen 与希土离子是配位的。

配合物中 $v_{as(COO^{-})}$ 位于~1640cm⁻¹, $v_{s(COO^{-})}$ 则位于~1380cm⁻¹, $\Delta v \approx 260$ cm⁻¹,而在 CCl₂HCOONa 中 Δv 为 240cm⁻¹ ⁽⁸⁾ ,因此从配合物的 $v_{as(COO^{-})}$ 和 $v_{s(COO^{-})}$ 位移方向及 Δv 大 小并与 CCl₂HCOONa 的有关值比较可以判断有单啮配位的 CHCl₂COO⁻ ⁽⁹⁾ 。而~1395cm⁻¹ 的肩峰以及~1640cm⁻¹ 的宽峰并结合电导测定推知有一个 CCl₂HCOO⁻未参与配位。

在~3400cm⁻¹ 的吸收峰(δ_{OH} 峰因 $1600\sim1700$ cm⁻¹ $v_{\bullet(COO^-)}$ 宽而强峰难以识别)表明配合物中含有水或乙醇分子,与元素分析结果一致。

在 Pr、Nd 配合物的红外谱图中还显示 C_2H_5OH 的特征吸收峰, v_{C-O} 出现在 $1058 cm^{-1}(Pr)$ 、 $1057 cm^{-1}(Nd)$,弱峰;在 $1408 cm^{-1}(Pr)$ 、 $1409 cm^{-1}(Nd)$ 处的中等强度的吸收峰为 乙醇的 v_{C-H} 面内弯曲振动吸收峰。而在 Gd、Tb、Er 和 Yb 的配合物谱图中均未出现上述二个吸收峰,表明 Pr、Nd 配合物确实含有乙醇分子。这种推断亦得到晶体结构测定的证实,在 $[Gd(CCl_3COO)_3phen \cdot C_2H_5OH]_2$ 中 $^{(10)}$ 的红外光谱图上,亦有上述二个吸收峰。





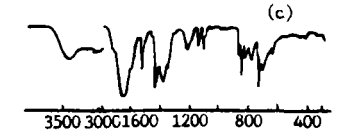


图 1 (a) phen·H₂O, (b) Pr(CCl₂HCOO)₃(phen)₂·H₂O·C₂H₅OH, (c) Yb(CCl₂HCOO)₃(phen)₂· 2H₂O 红外光谱图

Fig. 1 IR absorption spectra of (a) phen • H₂O, (b) Pr(CCl₂HCOO)₃(phen)₂ • H₂O • C₂H₅OH, (c) Yb(CCl₂HCOO)₃(phen)₂ • 2H₂O

三.紫外光谱分析 配体和配合物的紫外光谱在乙醇中测定,使用岛津 UV-210A 紫外可见分光光度计。Pr、Nd 配合物的紫外谱图相似;Gd、Tb、Er 和 Yb 配合物的紫外光谱图亦相似。配合物的紫外光谱主要体现配体的性质。邻菲罗啉环 $n \rightarrow \pi^*$ 与 $\pi \rightarrow \pi^*$ 电子跃迁引起的紫外吸收峰(200.0nm、230.0nm、263.6nm 和 323.2nm)除了 200.0nm 处的吸收峰兰移 0.4~2nm外(轻希土较重希土兰移程度大),其余吸收峰位移不大(在配合物中 323.2nm 处无吸收峰)。Pr、Nd 配合物的 UV 谱在 224.4nm(Pr)和 223.4nm(Nd)处新出现一个吸收峰。从配合物的 UV 谱图看出,形成配合物后 phen 环的共轭程度稍减弱,但减弱程度较小。

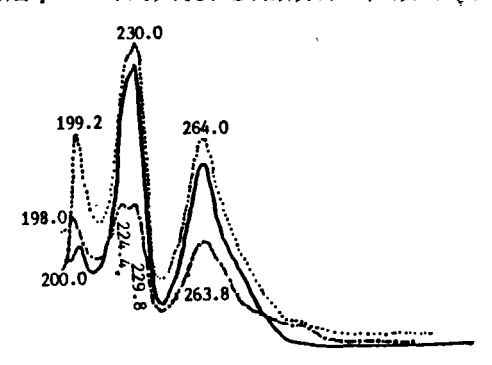


图 2 Phen·H₂O(-)、Pr(CCl₂HCOO)₃(phen)₂·H₂O·C₂H₅OH(-·-·-)
和 Tb(CCl₂HCOO)₃(phen)₂·2H₂O(…)紫外光谱图

Fig.2 UV specra of phen • $H_2O(-)$, $Pr(CCl_2HCOO)_3(phen)_2 \cdot H_2O \cdot C_2H_5OH(- \cdot - \cdot -)$ and $Tb(CCl_2HCOO)_3(phen)_2 \cdot 2H_2O(\cdots)$

四.差热-热重分析 热分析使用理学 8150 型 DTA-TG 仪在空气气氛中进行,以 Al₂O₃ 为参比物,升温速度为 10℃/min,研究范围为室温至 800℃。配合物的热谱图相似。配合物的热

表 2 配合物热分析信息

contents	TG curves				DTA curves	
	loss H ₂ O or C ₂ H ₅ OH		last residuum		endo-	exo-
	temp. range (C)	% loss mass	resi- duum	% resi- duum	thermic peaks (°C')	thermic peaks (°C)
$Pr(L)_3(phen)_2 \cdot H_2O \cdot C_2H_5OH$	100.8- 116.9	5.75 (6.48)*	PrOCI	20.46 (20.26)	117.6	245.8, 464.1, ~533, 638.2
Nd(L) ₃ (phen) ₂ • H ₂ O • C ₂ H ₅ OH	109.1- 124.3	6.75 (6.48)	NdOCI	20.57 (20.54)	101.5	233.6, 462.1, ~524, 625.8
Gd(L)3(phen)2 • 2H2O	121.3- 142.9	3.68 (3.84)	Gd ₂ O ₃	19.01 (19.33)	120.8	229.2, 486.2, ~ 570
Tb(L)3(phen)2 • 2H2O	120.5- 146.8	3.52 (3.84)	Tb ₂ O ₃	20.0 (19.48)	117.9	223.2, 491.1, ~581, 630.6
Er(L)3(phen)2 • 2H2O	114.7- 127.8	3.68 (3.80)	ErOCl	24.00 (23.08)	121.0	240.3, 494.6, ~ 574
Yb(L)3(phen)2 • 2H2O	106.5- 118.1	3.73 (3.78)	Yb ₂ O ₃	21.99 (20.67)	112.8	250.5, 494.6, ~570

Table 2 Thermal Analytical Information of the Complexes

* L = CCl₂COO; data in brackets are calcd.

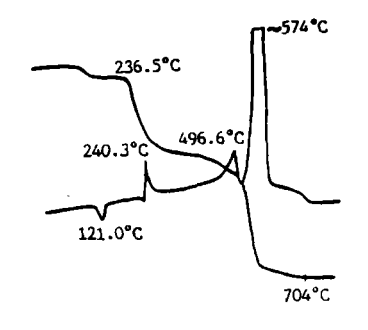


图 3 Er(CCl₂HCOO)₁(phen)₂·2H₂O的DTA-TG谱

Fig.3 DTA - TG curve of Er(CCl₂HCOO)₃(phen)₂ • 2H₂O

参考文献

- [1] Sing, M., Bhutra, M.P. et al., Bull. Chem. Sol. Japan, 51(4), 1241(1978).
- [2] 熊为淼、吴淑荣、孟 艳, 化学学报, 45, 426(1987).
- [3] Spacu, P., Antonescu, E., Rev. Roum. Chim., 14, 201(1969); Z. Chem., 7(4), 163(1967).
- [4] 沈富良、韩冬梅等, 杭州大学学报, 14(2), 198(1987).
- [5] Forsberg, J. H., Coord. Chem. Rev., 10, 195(1973).
- [6] Geary, W. J., Coord. Chem. Rev., 7, 81(1971).
- [7] 张仲生、吴集贵、邓汝温,高等学校化学学报,11(1),7(1990).
- [8] Spinner, E., J. Chem. Soc., (11), 4217(1964).
- [9] Deacon, G. B., Phillips, R. J., Coord. Chem. Rev., 33, 227(1980).
- [10] 毛 龙等,结构化学,8(1),75(1989).

SYNTHESIS AND CHARACTERIZATION OF MIXED LIGAND COMPLEXES OF RARE EARTH DICHLOROACETATE WITH 1,10-PHENANTROLINE

Dong Nan Zhu Longguan

(Department of Chemistry, Hangzhou University, Hongzhou 310028)

Six solid ternary coordination compounds of rare earth dichloroacetate with 1,10-phenanthroline were synthesized in aquo-organic solvents. They were characterized by elemental analysis. IR spectra. DTA-TG thermal analysis and UV spectra. The composition of these complexes are $Ln(CCl_2HCOO)_3(phen)_2 \cdot H_2O \cdot C_2H_5OH(Ln=Pr. Nd)$ and $Ln(CCl_2HCOO)_3(phen)_2 \cdot 2H_2O(Ln=Gd. Tb. Er. Yb)$.

Keywords: rare earth dichloroacetic acid complex 1,10-phenanthroline synthesis